

تأثیر تنش خشکی بر فعالیت آنتیاکسیدان‌های آنزیمی، مقادیر مالون دی‌آلدئید، پروتئین محلول و نیتروژن کل برگ سویا (*Glycine max L.*)

سید محمد جواد بحرالعلومی^{۱*}، محمود رائینی سرجاز^۲، همت‌الله پیردشتی^۳

- کارشناس آزمایشگاه شیمی و حاصلخیزی خاک، گروه علوم خاک، کارشناس ارشد هواشناسی کشاورزی، دانشگاه علوم کشاورزی و منابع طبیعی ساری
- استاد گروه مهندسی علوم آب، دکترای هواشناسی کشاورزی، دانشگاه علوم کشاورزی و منابع طبیعی ساری
- دانشیار گروه زراعت، دکترای زراعت، دانشگاه علوم کشاورزی و منابع طبیعی ساری.

تاریخ دریافت: ۹۶/۱۱/۱؛ تاریخ پذیرش: ۹۶/۱۲/۰۳

چکیده

این پژوهش با هدف بررسی تأثیر تنش خشکی بر فعالیت آنتیاکسیدان‌های آنزیمی گیاه سویا (رقم ساری)، در سال در دانشگاه علوم کشاورزی و منابع طبیعی ساری انجام شد. در این پژوهش اثر چهار تیمار آبی در یک آزمایش گلدنی در قالب طرح کامل تصادفی با شش تکرار بررسی شد. گیاهان پس از مرحله‌ی چهار برگی به تصادف به چهار سطح آبی (۱۰۰ شاهد، W₀، ۶۰، W₁، ۴۰، W₂ و ۲۰ (تنش شدید، W₃) درصد آب قابل دسترس (AW) اختصاص یافتند. در ابتدا همه تیمارها تا ۱۰۰ درصد آب دسترس آبیاری شدند و آبیاری‌های بعدی پس از رسیدن رطوبت خاک به درصد تعريفشده برای هر تیمار انجام می‌شد. در مرحله‌ی زایشی R₄ و R₅ (روز پس آغاز تنش) اقدام به نمونه‌برداری برای سنجش آنزیم‌ها و نیتروژن برگ شد. یافته‌ها نشان داد که فعالیت آنزیم کاتالاز تا ۶۰ درصد آب قابل دسترس، نسبت به شاهد ۶۵ درصد افزایش داشت، آنگاه با افزایش شدت تنش فعالیت آن کاهش یافت. همچنین فعالیت آنزیم پراکسیداز، مقدار مالون دی‌آلدئید (MDA) و نیتروژن کل برگ نیز با کاهش آب خاک تا سطح ۲۰ درصد آب قابل دسترس نسبت به شاهد به ترتیب ۴۳ و ۲۶ و درصد افزایش یافت. با کاهش ۲۰ درصدی آب قابل دسترس، مقدار پروتئین محلول برگ نسبت به شاهد ۱۲ درصد کاهش نشان داد و تفاوت معنی‌داری میان تیمارهای W₂ و W₃ و شاهد دیده شد. نتایج گویای آن است که در تنش خشکی ملایم فعالیت آنزیم‌های آنتیاکسیدانی افزایش یافت و پیامد آن، کاهش آسیب گونه‌های فعل اکسیژن (ROS) بود که خود باعث نقش حفاظتی بسیار مؤثری در مراحل فتوسنتریزی گیاه می‌گردد. نتیجه این سازوکار فیزیولوژیک بهبود عملکرد دانه در بوته در بازه تخلیه رطوبتی فوق بود.

واژه‌ای کلیدی: آب قابل دسترس، پراکسیداز، کاتالاز، گونه‌های فعل اکسیژن

مقدمه

کمبود آب به عنوان گسترده‌ترین عامل تنش محیطی همواره از جهات مختلف مورد توجه بوده و در کاهش تولید محصولات مهم زراعی چون سویا، نقش بسزایی داشته است. در مطالعات مختلف مقاومت ژنتیکی‌های مختلف (Bakaei et al., 2008; Akbari Nodehi, 2012; Yousefi et al., 2011) و مصرف آب (Farshbaf-Jafari, 2010) مدیریت آبیاری و کود نیتروژن (Masoumi et al., 2010) و ارزیابی آنتیاکسیدان‌ها (Singh, 2003) برخشنده‌ی تنش خشکی بر میزان پروتئین و روغن آن (Farshbaf-Jafari, 2010) درون‌سلولی گیاه و ایجاد و انباست گونه‌های فعل اکسیژن،

* نگارنده پاسخگو: سید محمد جواد بحرالعلومی. پست الکترونیک: bahrololoumi@sanru.ac.ir

سویا (Glycine max L.) از گیاهان روغنی مهم دنیاست که در سطح چهار هزار هکتار از مزارع مازندران با تولیدی در حدود هشت هزار تن کشت می‌شود (Akbari Nodehi et al., 2012). در جهان از آن برای تهیه روغن‌های گیاهی و نیز خوشکی، جوانه‌زنی و دام استفاده می‌شود (Khajehpour et al., 2012). تنش خشکی، جوانه‌زنی و وزن خشک گیاهچه سویا را در مراحل رشد زایشی (R_2-R_6)، بهشت می‌کاهد (Fougereux et al., 1997; Daneshyan et al., 2009). از سویی مرحله گل‌دهی (R_1) را بحرانی ترین دوره رشد سویا به تنش خشکی ارزیابی می‌کنند در حالی که کمبود آب در این مرحله نسبت به مراحل تشکیل و پر شدن دانه اثر کمتری بر عملکرد و اجزای عملکرد دانه سویا می‌گذارد (Desclaux et al., 2005; Karam et al., 2000). از میان ارقام سویا رقم ساری، دارای ویژگی‌های بارزتری چون تعداد غلاف و تعداد دانه در بوته برای ارزیابی تنش است (Arc-ordc, 2014). از این ره هدف این پژوهش، بررسی اثر آب قابل دسترس به عنوان شاخص مناسب از میزان آب آبیاری در تنش خشکی بر سازوکار دفاعی آنزیمی سویا و ارائه نتایج به صورت مدل تغییرات در نظر گرفته شد.

مواد و روش‌ها مقدمات و نحوه اجرا

این پژوهش در سال ۱۳۹۱ در دانشگاه علوم کشاورزی و منابع طبیعی ساری به صورت آزمایشی گلدانی در قالب طرح کامل‌تصادفی برای گیاه سویا رقم ساری در چهار سطح آبی با شش تکرار انجام گرفت. برخی از ویژگی‌های فیزیکی و شیمیایی خاک به کاررفته در گلدان‌ها در جدول ۱ آمده است.

در ابتدا منحنی رطوبتی خاک (تغییرات پتانسیل ماتریک نسبت به رطوبت وزنی) گلدان‌ها، به روش کاغذ صافی (Hamblin, 1981) ترسیم شد. با محاسبه میزان رطوبت در نقطه پژمردگی دائم (PWP) و ظرفیت مزروعه (FC) تنش خشکی بر پایه میزان آب قابل دسترس (Available Water) در چهار سطح طراحی و اجرا شد. سپس ۲۴ گلدان حاوی نه کیلوگرم خاک هوaxشک تهیه و با قرار دادن ۱۲ بذر در هر گلدان، آبیاری برای تمام گلدان‌ها، سه روز در هفت‌هنجام شد. پس از تنک کردن و انتخاب سه بوته در هر گلدان و یک ماه پس از آغاز کاشت، در مرحله چهار تا پنجم گره (V_4-V_5)، گیاهان به تصادف به چهار سطح آبی برای اعمال تنش اختصاص یافتند. آب گلدان‌های گیاهان شاهد (W_0) نزدیک

همچون آئیون سوپراکساید (O_2^-), پراکسید هیدروژن (H_2O_2) و رادیکال هیدروکسیل (OH) در بی تنش‌های محیطی مانند خشکی موجب آسیب سلول و اخلال در انتقال الکترون خواهد شد (Mittler, 2002; Del Rio et al., 2006). توان واکنش‌پذیری بالای رادیکال‌های اکسیژن که ناشی از الکترون‌خواهی آنان است باعث حمله به ماکرومولکول‌های گیاهی، مانند پروتئین‌ها، DNA و پراکسیداسیون چربی‌ها می‌شود (Edreva, 2005). در این راستا، ارزیابی مقاومت گیاه به تنش‌های محیطی طی پژوهش‌های مختلف، اهمیت بررسی تنش اکسایشی را در پی داشته است (Bai and Sui, 2006). مهم‌ترین ترکیبات آنتی‌اکسیدان‌های آنزیمی، شامل سوپراکسید‌دی‌سوموتاز (SOD)، کاتالاز (CAT) و پراکسیدازها (POX) از جمله گلوتاتیون پراکسیداز (GPX) و آسکوربات (APX) می‌باشند (Sofo et al., 2015). افزون بر ترکیبات فوق، برخی آنتی‌اکسیدان‌های غیرآنژیمی مانند آسکوربات (ویتامین C)، توکوفرول (ویتامین E) و کارتونییدها (بتا کاروتون) نیز نقش حفاظتی در گیاه دارند (Esfandiari et al., 2009b). رفتارهای متفاوتی از میزان فعالیت آنتی‌اکسیدان‌های آنزیمی در سطوح مختلف تنش خشکی، در برنج (Sharma and Dubey, 2005)، توتون (Ohe et al., 2005) و سویا (Masoumi et al., 2011) گزارش شده است.

برای ربدیابی و ارزیابی کیفی انباستگی و آسیب‌زایی گونه‌های اکسیژن فعال در تنش‌های اکسایشی از مالون‌دی‌آلدید (MDA) به عنوان نمایه‌ای از پاسخ گیاه به تنش استفاده می‌شود (Mates and Perez-Gomez, 1999). اسیدهای چرب غیراشبع چندگانه (PUFA) موجود در غشاء فسفولیپیدی، براثر حمله ROS ها به ویژه OH اکسیدشده و با شکستگی زنجیره، نشت‌پذیری غشا سلول افزایش می‌یابد. فسفولیپیدها قسمت‌های بنیادی غشای سلول هستند که شیره سلولی و اندامک‌هایی همچون هسته و میتوکندری را دربر می‌گیرند، از این‌رو آسیب به فسفولیپیدها می‌تواند در زنده‌مانی و کارایی سلول اثرگذار باشد (Bhattacharjee and Mukherjee, 2002). یافته‌های پژوهشی اثر تنش خشکی در گیاه سویا نشان داد که با افزایش شدت تنش، مقدار مالون‌دی‌آلدید اندازه‌گیری شده افزایش و درنتیجه میزان تخریب غشاء بیشتر شده است (Sairam and Saxena, 2002; Masoumi et al., 2011).

می‌شدند. زمان مناسب آبیاری تیمارهای آبیاری با وزن کردن گلدان‌ها تعیین می‌شد. به ۱۰۰ درصد آب قابل‌دسترس نگه داشته شد. سه تیمار دیگر هنگامی که رطوبت خاک به ۶۰ (W₁)، ۴۰ (W₂) و ۲۰ (W₃) درصد آب قابل‌دسترس می‌رسید مطابق جدول ۲ بازآبیاری

جدول ۱. نتایج تجزیه شیمیایی و فیزیکی خاک مورد آزمایش

Table 1. Results of chemical and physical analysis of studied soil

هدایت الکتریکی							
بافت خاک Soil texture	pH	(شوری) EC (dS/m)	ماده آلی O.M. (%)	نیتروژن N (%)	پتانسیم قابل‌جذب K _{av.}	فسفر قابل‌جذب P _{av.} (mg/kg)	
لوم سیلتی رسی Silty clay loam	7.5	0.69	0.23	4.04	25.05	416.4	

جدول ۲- ظرفیت مزرعه، نقطه پژمردگی، پتانسیل ماتریک، رطوبت جرمی، مقدار آب قابل‌دسترس و حجم آب آبیاری در سطوح مختلف تنفس

Table 2. Field capacity, wilting point, matric potential, mass moisture, available water quantity and irrigation water volume at different stress levels

وضعیت رطوبت خاک گلدان‌ها Soil moisture contents in pots	پتانسیل ماتریک Matric Potential (bar)	آب قابل‌دسترس Available Water (ml)	جرم خاک و رطوبت در هنگام آبیاری Soil and moisture content when irrigated (gr)	حجم آب در هر بار آبیاری Irrigation water volume (ml)
ظرفیت مزرعه				
Field Capacity (FC)	0.20-0.30	27.0	1000	11050
100% AW (W0)	0.20-0.40	25.8-27.0	900-1000	10950-11050
60% AW (W1)	0.66	22.5	600	10660
40% AW (W2)	1.74	20.0	400	10440
20% AW (W3)	5.25	17.5	200	10225
نقطه پژمردگی دائم Permanent Wilting Point (PW)	15.00	15.4	0	10040

اسفندیاری و همکاران (Esfandiari et al., 2009a)، با ۰/۲ گرم از نمونه گیاهی و افروden ۱/۸ میلی‌لیتر محلول بافر فسفات‌دی‌هیدروژن‌پتانسیم (KH₂PO₄) ۱۰۰ میلی‌مolar با pH=۷/۵ انعام گرفت. در این روش پس از تهیه سوپسانسیون گیاه و بافر و سانتریفیوژ آن، بخش بالایی محلول جدا و برای اندازه‌گیری کاتالاز، پراکسیداز و پروتئین محلول استفاده شد.

نمونه‌برداری و استخراج اولیه آنزیمی

پس از ۴۵ روز از آغاز تنفس و رسانیدن گیاه به مرحله زایشی R₅ الی R₄، سنجش فعالیت آنزیم‌های کاتالاز و پراکسیداز آغاز شد. برای این کار، از هر گلدان نمونه‌های برگ برداشت و با قرار دادن در تانک‌های ویژه حاوی نیتروژن مایع، بی‌رنگ به آزمایشگاه منتقل می‌شدند. استخراج آنزیمی به روش

A_{600}) محاسبه و با در نظر گرفتن ضریب خاموشی $155\text{ cm}^{-1}\text{ mM}^{-1}$ و مقدار پروتئین محلول برگ مقدار مالون دی‌آلدئید بر حسب واحد نانو مول بر میلی‌گرم پروتئین محلول ($\text{nmol/mg}_{\text{pro.}}$) گزارش شد.

اندازه‌گیری نیتروژن کل برگ

جهت اندازه‌گیری نیتروژن کل برگ، نمونه‌ها پس از شستشو و خشک نمودن در 70°C درجه سانتی‌گراد، آسیاب و الک شدند. مراحل هضم، تقطیر و تیتراسیون به روش کجلدال و بر اساس دستورالعمل شرکت فاس (Foss Tecator AB, 2001) با دستگاه اتوماتیک FOSS Kjeltec 2300 انجام شد و مقدار نیتروژن بر حسب درصد وزن خشک گیاه محاسبه گردید.

اندازه‌گیری عملکرد

با زرد شدن حدود 95% از برگ‌ها و قهوه‌ای شدن کامل غلاف‌ها، در مرحله R_8 ، برداشت غلاف از بوته‌ها انجام شد. سپس دانه‌ها از غلاف خارج و مجموع وزن دانه‌ها در بوته‌های هر گلدان توزیں گردید. میانگین وزن دانه در بوته برای هر گلدان به عنوان شاخص عملکرد لحاظ گردید. در پایان و پس از آزمون نرمال بودن، داده‌ها در قالب طرح کاملاً تصادفی و با استفاده از نرم‌افزار SPSS نسخه ۱۶ تجزیه و میانگین‌ها با استفاده از آزمون توکی (HSD) و در سطح احتمال پنج درصد مقایسه شدند. نمودارها نیز با استفاده از نرم‌افزار Excel رسم گردیدند.

نتایج و بحث

کاتالاز

نتایج تجزیه واریانس (جدول ۳) نشان می‌دهد که کاهش آب قابل دسترسی بر فعالیت آنزیم‌های کاتالاز و پراکسیداز تأثیر معنی‌داری ($P \leq 0.01$) داشته است. فعالیت آنزیم کاتالاز با افزایش تنش خشکی تا سطح 60°C و درصد آب قابل دسترسی، به‌طور معنی‌داری در مقایسه با شاهد $(100\% \text{ درصد آب قابل دسترسی})$ افزایش یافت (شکل ۱). معادله منحنی تغییرات، بیشترین فعالیت را در حدود 59% درصد آب قابل دسترسی نشان می‌دهد. روند تغییرات نمایانگر آن است که با افزایش تنش و کاهش رطوبت خاک، بر میزان تولید گونه‌های فعل اکسیژن افزوده شده است. با کاهش آب قابل دسترسی به 20% درصد (W_3)، فعالیت آنزیم کاتالاز افت

اندازه‌گیری آنزیم کاتالاز

فعالیت آنزیم کاتالاز با استفاده از روش آبی (Aebi, 1984)، توسط دستگاه اسپکتروفوتومتر در طول موج 240 nm نانومتر بر حسب واحد فعالیت (U) که برابر با میکرومول تجزیه پراکسید هیدروژن است اندازه‌گیری شد. سپس با استفاده از تغییرات جذب ($\Delta A = A_{60} - A_0$) دستگاه اسپکتروفوتومتر، ضریب خاموشی $28\text{ mM}^{-1}\text{ cm}^{-1}$ برای پراکسیدهیدروژن، حجم محلول‌های آنزیمی، پراکسیدهیدروژن، بافر بکار رفته در واکنش و مقدار پروتئین محلول، مقدار فعالیت آنزیم کاتالاز، بر حسب واحد فعالیت بر میلی‌گرم پروتئین محلول در دقیقه (U/mg_{pro. min})، محاسبه شد.

اندازه‌گیری آنزیم پراکسیداز

فعالیت آنزیم پراکسیداز به روش تانگ و نیوتن (Tang and Newton, 2005)، توسط دستگاه اسپکتروفوتومتر در طول موج 470 nm نانومتر در زمان‌های صفر و 60 s ثانیه اندازه‌گیری شد. با استفاده از تغییرات جذب ($\Delta A = A_{60} - A_0$) دستگاه اسپکتروفوتومتر، ضریب خاموشی $26/6\text{ mM}^{-1}\text{ cm}^{-1}$ برای تتراگایاکول، حجم محلول‌های آنزیمی، پراکسیدهیدروژن، بافر و گایاکول بکار رفته در واکنش و مقدار پروتئین محلول، مقدار فعالیت آنزیم پراکسیداز بر حسب واحد فعالیت بر میلی‌گرم پروتئین محلول در دقیقه (U/mg_{pro. min}) محاسبه شد.

اندازه‌گیری پروتئین محلول

برای سنجش پروتئین محلول در برگ، پس از تهیه استانداردها و افزایش معرف، میزان جذب آن‌ها توسط دستگاه اسپکتروفوتومتر در طول موج 595 nm نانومتر به روش براوفورد (Bradford, 1976) اندازه‌گیری شد و سپس منحنی کالیبراسیون ترسیم گردید. اندازه‌گیری جذب محلول‌های استخراج شده آنزیمی هر نمونه با معرف نیز انجام و مقدار پروتئین محلول بر حسب واحد میلی‌گرم پروتئین محلول به گرم وزن تر گیاه ($\text{mgr}_{\text{pro.}}/\text{gr}_{\text{plant}}$) محاسبه شد.

اندازه‌گیری مالون دی‌آلدئید

سنچش مقدار مالون دی‌آلدئید به روش استوارت و بیلی (Stewart and Bewley, 1980) در دو طول موج 532 nm و 600 nm نانومتر با اسپکتروفوتومتر انجام و مقدار $\Delta A_{532} - \Delta A_{600}$

همکاران (Masoumi et al., 2010) در سویا، با استفاده از تشک تبخیر در زمان آبیاری مجدد، همسو بوده است.

کرد هرچند تفاوت معنی‌داری میان آن با فعالیت در تیمار شاهد دیده نشد. افزایش فعالیت کاتالاز در تنفس ملایم و افت آن در تنفس شدید ($W_1 < W_2 < W_3$) با نتایج معمومی و

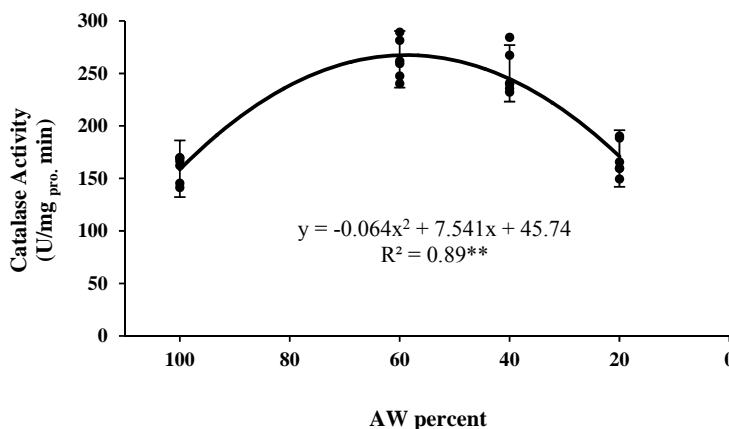
جدول ۳. تجزیه واریانس آنتی‌اکسیدان‌های آنزیمی، مالون دی‌آلدئید، پروتئین محلول در برگ، نیتروژن کل برگ و وزن دانه در بوته

Table 3. Analysis of variance of antioxidant enzymes, MDA, leaf solution protein, leaf total nitrogen and Seed weight per plant

Sources of variation	درجه آزادی Df	Mean Squares (MS)				میانگین مربعات (MS)		
		فعالیت آنزیم کاتالاز	فعالیت آنزیم پراکسیداز	مالون دی‌آلدئید MDA	پروتئین محلول برگ	نیتروژن کل برگ	وزن دانه بوته	
		Catalase activity	Peroxidase activity	Leaf soluble protein	Leaf total Nitrogen	Seed weight per plant		
آب قابل دسترس Available water	3	17445.7**	266.1**	1.79*	0.84*	0.724**	42.9**	
خطای آزمایش Experimental error	20	308.8	10.2	0.55	0.20	0.034	1.7	
ضریب تغییرات (درصد) CV (%)	-	8.4	7.1	11.6	6.6	5.4	12.4	

** و *: معنی‌دار در سطح ۱ و ۵ درصد

** and * indicates significance differences at 1 and 5 percent



شکل ۱. اثر آب قابل دسترس خاک بر فعالیت آنزیم کاتالاز

Fig. 1. The effect of soil available water on catalase enzyme activity

گیاه ذرت برای سطوح ۱۰۰، ۸۰، ۶۰ و ۴۰ درصد آب قابل دسترس، روند تغییرات فعالیت کاتالاز کاملاً افزایشی بود (Manoochehrifar et al., 2011) و بیشترین فعالیت در تیمار ۴۰ درصد آب قابل دسترس به دست آمد. چنین افزایش فعالیت برای سویا (Khoshouee et al., 2011) نیز گزارش شده است.

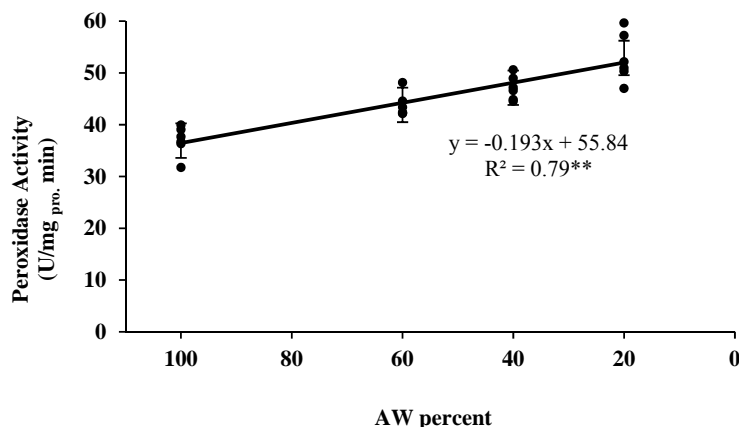
کاهش فعالیت این آنزیم در تنفس‌های شدید شاید به دلیل ناکارآمدی سامانه دفاعی آنزیمی سویا در شدت‌های بالا باشد (Masoumi et al., 2010). پاسخ دفاعی دیگر گیاهان به تنفس خشکی در گزارش‌های دیگر پژوهشگران نمایشگر افزایش فعالیت آنزیم کاتالاز با افت آب خاک است، گرچه در این پژوهش‌ها از تنفس بسیار شدید ۲۰ درصد آب قابل دسترس استفاده نشد، به طوری که در پژوهشی مشابه در

مالون دی‌آلدئید

نتایج تجزیه واریانس (جدول ۳) نشان می‌دهد که اثر تنش خشکی بر مقدار مالون دی‌آلدئید، معنی‌دار بود ($P \leq 0.05$). شکل ۳ نشان می‌دهد با افزایش تنش خشکی در سویا مقدار مالون دی‌آلدئید روندی افزایشی داشت، به گونه‌ای که نسبت به تیمار ۶۰٪ نشان می‌داند افزایش روندی افزایشی داشت، به گونه‌ای که نسبت به تیمار شاهد با افت آب خاک به ترتیب ۷، ۱۵ و ۲۲ درصد در ۴۰، ۴۰ و ۲۰ درصد آب قابل دسترس افزایش یافت، گرچه در تنش‌های ملایم تفاوت معنی‌داری با شاهد دیده نشد. رابطه منفی و معنی‌داری نیز میان درصد آب خاک و مقدار مالون دی‌آلدئید دیده شد.

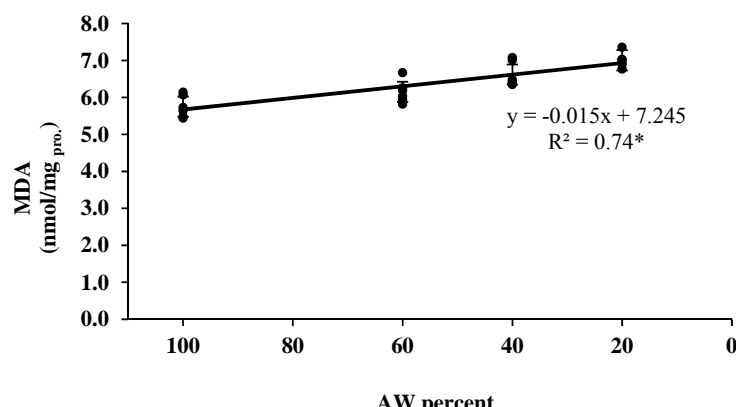
پراکسیداز

کاهش آب قابل دسترس بر فعالیت آنزیم پراکسیداز نیز معنی‌دار ($P \leq 0.01$) بود (جدول ۳). فعالیت این آنزیم با افزایش تنش خشکی روندی کاملاً افزایشی داشت ($W_0 < W_1 < W_2 < W_3$) و درصد فعالیت آن نسبت به تیمار شاهد با افت آب خاک به ترتیب $18/7$ ، $27/9$ و $43/4$ درصد افزایش یافت. تأثیر سطوح خشکی بر فعالیت این آنزیم در سویا در گزارش معصومی و همکاران (Masoumi et al., 2010)، همانند اثر کاتالاز بود و با افزایش شدت تنش، فعالیت در آغاز افزایشی و سپس کاهشی شد درحالی که در یافته‌های این پژوهش با افت آب خاک این روند افزایشی باقی ماند (شکل ۲).



شکل ۲. اثر آب قابل دسترس خاک بر فعالیت آنزیم پراکسیداز

Fig. 2. The effect of soil available water on peroxidase enzyme activity



شکل ۳. اثر آب قابل دسترس خاک بر مقدار مالون دی‌آلدئید

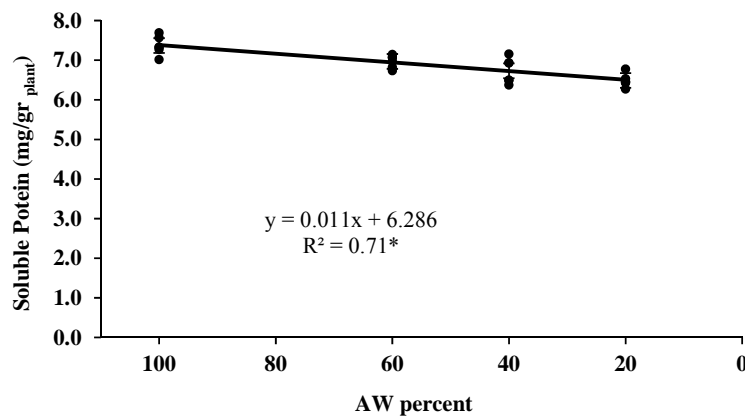
Fig. 3. The effect of soil available water on malon dialdehyde content.

and et al., 2011) از این روش افزایش مقدار MDA در پژوهش حاضر نمایشگر آسیب اکسایشی در بافت‌های گیاهی است که با یافته‌های سایرام و ساکسنا (Sairam and Saxena, 2002) در تنفس خشکی و نصیبی و همکاران (Nasibi et al., 2014) در تنفس شوری همسو است.

پروتئین محلول برگ

نتایج تجزیه واریانس (جدول ۳) نشان می‌دهد که اثر تنفس خشکی بر مقدار پروتئین‌های محلول در برگ کل معنی‌دار بود ($P \leq 0.05$). میانگین پروتئین‌های محلول در برگ سویا با کاهش آب قابل دسترس دارای روندی نزولی بود به گونه‌ای که تیمارهای ۴۰ و ۲۰ درصد آب قابل دسترس در مقایسه با تیمار شاهد (۱۰۰ درصد AW) به میزان ۹ و ۱۲ درصد کاهش یافت (شکل ۴).

پاسخ گیاه به تنفس‌های محیطی، همچون خشکی علاوه بر عملکرد، در سطح سلولی با تولید ترکیباتی چون مالون دی‌آلدئید (MDA)، قابل بررسی است. مالون دی‌آلدئید به طور طبیعی در گیاهان تولید می‌شود و مقدار آن با شکست و جدایی اسیدهای چرب غیراشباع مناسب است. افزایش تولید آن پیامد ویرانی اسیدهای چرب دیواره سلول است (Moussa and Abdel-Aziz, 2008). از این روش مقدار MDA می‌تواند نمایه مناسبی برای پراکسیدشدن چربی‌ها باشد. یکی از پیامدهای همه تنفس‌های محیطی افزایش گونه‌های فعال اکسیژن است. این باشتگی این گونه‌ها باعث تولید بیشتر MDA می‌شود که یکی از فرآوردهای نهایی پراکسیدشدن چربی‌های دیواره سلول و نمایه‌ای از شدت تنفس اکسایشی است (Zhang et al., 2010; Cuypers 2010).



شکل ۴- اثر آب قابل دسترس بر مقدار پروتئین محلول برگ

Fig. 4. The effect of soil available water on leaf soluble protein content

Amini et al., 2009) (Dolatabadian et al., 2009)، جو (Ranjan et al., 2001; Tale-Ahmad 2009) و گندم (and Haddad, 2010) چنین روندی برای پروتئین‌های محلول در برگ براثر تنفس خشکی گزارش شد.

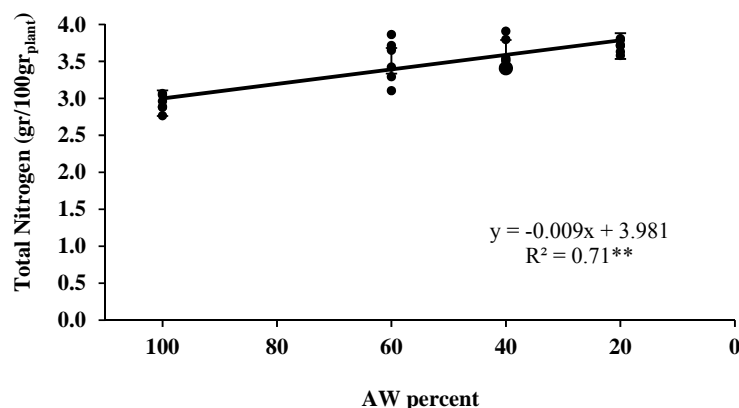
نیتروژن کل برگ

اثر تیمار خشکی بر میانگین نیتروژن کل برگ نیز معنی‌دار بود (جدول ۳). مقدار نیتروژن در تیمار شاهد

افت پروتئین‌های محلول در برگ با کاهش آب قابل دسترس قابل توجیه است. بخشی از پروتئین‌ها که درصد کمی از پروتئین کل در گیاه را تشکیل می‌دهد به دلیل ساختار فرمولی متفاوت در مقایسه با پروتئین‌های دیگر، قابلیت انحلال بیشتری دارند. حلایت بالا و استحکام پایین ساختاری این پروتئین‌ها باعث مقاومت کمتر و درنتیجه آسیب بیشتر در برابر میل واکنش‌پذیری بالای گونه‌های فعال اکسیژن در اثر افزایش شدت تنفس می‌شود (Singh, 2003). هم‌سو با یافته‌های این پژوهش در گیاه دارویی کدو پوست-کاغذی (Naeemi et al., 2012)، برگ ذرت

در محیط‌های کم‌باران در مقایسه با گیاهان روییده در مناطق پریاران، دارای نیتروژن برگ بیشتری بودند دلیل این امر افزایش مقدار نیتروژن نسبت به کاهش وزن گیاه به‌واسطه کمبود آب ذکر شد، از این‌رو کارابی جذب نیتروژن برگ در شرایط خشکسالی و کم‌آبیاری افزایش یافت که این می‌تواند بهره فتوسنتر در واحد سطح برگ را افزایش دهد (Raeini-Sarjaz and Chalavi, 2008). در راستای یافته‌های این پژوهش گزارش‌هایی در زمینه اثر تنفس خشکی در افزایش Polshekan-e Pahlavan et al., 2008) مقدار نیتروژن در گندم (Nasri et al., 2007)، ذرت (Majidiyan et al., 2008) و کلزا (and Khalatbari, 2009) نیز منتشر شده است.

(W₀) در مقایسه با تیمارهای تنفس خشکی کم بود (شکل ۵) و با افت آب خاک مقدار نیتروژن بین ۱۹ تا ۲۶ درصد افزایش یافت. همچنین در شکل مذکور، میان درصد آب خاک و مقدار نیتروژن کل برگ رابطه منفی و معنی‌داری مشاهده شد. افزایش نیتروژن برگ لوبیا سبز براثر تنفس آبی نیز گزارش شده است (Raeini-Sarjaz and Chalavi, 2008). دلیل این افزایش به خاطر ثابت بودن مصرف کودهای نیتروژن در تیمارهای مختلف آبی، تفاوت شاخص سطح برگ بیان شد، چون گسترش برگ در گیاهان با آب قابل دسترس مناسب، بیشتر از گیاهان تحت تنفس است. در یک بررسی جامع (Wright et al., 2003) نیز مشاهده شد که گیاهان روییده



شکل ۵. اثر آب قابل دسترس خاک بر مقدار نیتروژن کل برگ

Fig. 5. The effect of soil available water on leaf total nitrogen content

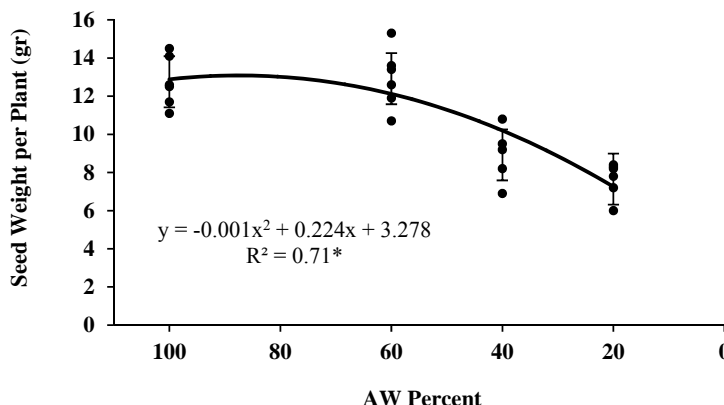
عملکرد تا سطح W₁ دانست. با نگاهی به مقادیر وزن دانه در سطوح W₂ و W₃، بهوضوح کاهش شدید عملکرد محصول در خشکی‌های متوسط و شدید مشهود است که بهشدت تحت تأثیر کاهش آب قابل دسترس قرار گرفت و کاهش ۳۱ و ۴۱ درصدی وزن دانه در بوته را نسبت به سطح W₁ به همراه داشت.

پژوهشگران صفات فیزیولوژیکی و مورفولوژیکی سویا را در تنفس خشکی بسیار مورد بررسی قرار دادند. برای نمونه، می‌توان به کاهش تعداد غلاف، دانه، وزن و عملکرد دانه (Akbari Nodehi, 2012; Masoumi et al., 2011) تحت تنفس خشکی اشاره کرد. کاهش عملکرد دانه در نتیجه تنفس خشکی و افزایش فواصل آبیاری توسط اوهاشی و همکاران (Ohashi et al., 2009) نیز گزارش شده است. در این

وزن دانه در بوته نتایج تجزیه واریانس (جدول ۳) نشان داد که اثر مقدار آب قابل دسترس بر وزن دانه در بوته در سطح یک درصد (P≤۰/۱) معنی‌دار گردید. با توجه به بررسی عملکرد ارقام سویا، آن را گیاهی نیمه مقاوم به تنفس خشکی می‌دانند (Bakaei et al., 2008; Vahdi and Gholinezhad, 2015) در این پژوهش معادله تغییرات وزن دانه در بوته نسبت به AW (شکل ۶) بیانگر این مطلب است که بازه رطوبتی FC تا ۶۰ درصد آب قابل دسترس، مناسب‌ترین حالت در تأمین نیاز آبی گیاه سویا است که مساعدت‌برین شرایط را از لحاظ حداکثر عملکرد محصول در پی دارد. همچنین می‌توان کارآمدی آنتی‌اکسیدان‌ها در حفاظت از فرایندی فتوسنتری را به عنوان عامل مؤثری در میزان

اصلی زایشی) و وزن دانه‌ها (به دلیل کاهش انتقال اسیمیلات و فتوسنترز جاری) عنوان شده است.

گزارش دلایل عمدۀ کاهش عملکرد گیاهان در شرایط تنفس‌های کم‌آبی، کاهش ارتفاع دوره رشد، کاهش سطح اندام اصلی فتوسنترز کننده (برگ)، کاهش تعداد گل‌ها (اندام‌های



شکل ۶. اثر آب قابل دسترس خاک بر مقدار وزن دانه در بوته

Fig. 6. The effect of soil available water on seed weight per plant

شدید، کاهش آب برگ ناشی از کم شدن آب قابل دسترس باعث افزایش غلظت نیتروژن در واحد وزن گیاه و کاهش محسوس وزن دانه شد. مقایسه کمّی فعالیت کاتالاز و پراکسیداز نشان می‌دهد میزان فعالیت کاتالاز در تجزیه و بر اثر کردن ROS ها بیشتر از پراکسیداز بود با آنکه در تنفس‌های شدید از کارایی کاتالاز کاسته و بر فعالیت پراکسیداز افزوده شد کاتالاز همچنان مقدار بیشتری داشت.

سپاسگزاری

نویسنده‌گان از همکاری و راهنمایی‌های ارزنده کارشناسان گروه‌های زراعت و علوم خاک دانشگاه علوم کشاورزی و منابع طبیعی ساری قدردانی می‌کنند.

نتیجه‌گیری

یافته‌های این پژوهش بیانگر آن است که سامانه دفاعی سویا همانند دیگر گیاهان بررسی شده، برای کاهش اثر ثانویه تنفس‌های محیطی، تنفس آکسایندگی، بسیار فعال است. گرچه در تنفس‌های بسیار شدید از فعالیت آنزیم کاتالاز در خنثی‌سازی اثر ROS ها در برگ سویا کاسته شد اما تا تنفس ملایم تمام آنتی‌اکسیدان‌های آنزیمی از خود روندی افزایشی را نشان داده که خود بازگوکننده عدم اختلال گونه‌های اکسیژن فعل و مهار آن بوده و افزایش عملکرد را در پی داشته است. علی‌رغم افزایش فعالیت پراکسیداز، به دلیل کاهش شدید فعالیت کاتالاز در تنفس‌های شدید، آنتی‌اکسیدان‌ها نتوانستند نقش حفاظتی مؤثری در کاهش آسیب به اسیدهای چرب غشاء یاخته‌ای و پروتئین محلول برگ داشته باشند. در تنفس‌های

منابع

- Aebi, H., 1984. Catalase in vitro. Methods in Enzymology. 105, 121-126.
- Akbari Nodehi, D., 2012. Effect of drought stress at different growth stages on soybean yield and water use efficiency in Mazandaran. Agricultural Science and Sustainable Production. 22(1), 13-23. [In Persian with English Summary].

- Amini, Z., Haddad, R., Moradi, F., 2009. The effect of water deficit stress on antioxidant enzymes during generative growth stages in barley (*Hordeum vulgare* L.). Journal of Science and Technology of Agriculture and Natural Resources. 12(46), 65-74. [In Persian with English Summary].

- Arc-orde, Oilseeds research and development company, 2014. From <http://arc-orde.ir/index.php/joomla-pages/joomla-content>.
- Bakaei, A.S., Babaei, H.R., Habibi, D., Javidfar, F., Mohammadi, A., 2008. Evaluation of different soybean (*Glycine max L.*) genotypes under drought stress conditions. Iranian Journal of Agronomy and Plant Breeding. 4(1), 27-38. [In Persian with English Summary].
- Bai, L., Sui, F., 2006. Effect of soil drought stress on leaf of maize. *Pedosphere*. 16, 326-332.
- Bhattacharjee, S., Mukherjee, A.K., 2002. Salt stress induced cytosolute accumulation, antioxidant response and membrane deterioration in three rice cultivars during early germination. *Seed Science and Technology*. 30, 279-287.
- Bradford, M.M., 1976. A rapid and sensitive method for the quantitation of microgram quantities of protein utilizing principle of protein-dye binding. *Analytical Biochemistry*. 72, 248-254.
- Cuypers, A., Smeets, K., Ruytinx, J., Opdenakker, K., Keunen, E., Remans, T., Horemans, N., Vanhoudt, N., Van Sanden, S., Van Belleghem, F., 2011. The cellular redox state as a modulator in cadmium and copper responses in *Arabidopsis thaliana* seedlings. *Journal of Plant Physiology*. 168, 309–316.
- Daneshyan, J., Hadi, H., Jonubi, P., 2009. The study effect of amount of soil water on quantity and quality characteristics of soybean. Proceedings of the National Conferences about Oilseed Plant in Iran, Isfahan University of Technology, Isfahan, Iran. [In Persian].
- Del Rio, L., Sandalio, L., Corpas, F., Palma, J., Barroso, J., 2006. Reactive oxygen species and reactive nitrogen species in paroxysms, production, scavenging and role in cell signaling. *Plant Physiology*. 141, 330-335.
- Desclaux, D., Huynh, T.T., Roumet, P., 2000. Identification of soybean plant characteristics that indicate the timing of drought stress. *Crop Science*. 40, 716-722.
- Dolatabadian, A., Modarres Sanavy, S.A.M., Sharifi, M., 2009. Effect of water deficit stress and foliar application of ascorbic acid on antioxidants enzymes activity and some biochemical's changes in leaves of grain corn (*Zea mays L.*). *Iranian Journal of Biology*. 22(3), 407-421. [In Persian with English Summary].
- Edreva, A., 2005. Generation and scavenging of reactive oxygen species in chloroplasts: A submolecular approach. *Agriculture, Ecosystems and Environment*. 106, 119-133.
- Esfandiari, E., Alavi-Kia, S.S., Bahmani, A., Aazami, M.A., 2009a. The effect of light on ROS scavenging systems and lipid peroxidation under cold conditions in saffron (*Crocus sativus L.*). *African Journal of Agricultural Research*. 4, 378-382.
- Esfandiari, E., Shakiba, M.R., Mahboob, S.R., Alyari, H., Baradaran Firozabadi, M., 2009b. Effect of water stress on antioxidant enzymes activities and lipid peroxidation of wheat seedlings. *Journal of Agricultural Science (University of Tabriz)*. 19(2), 129-147. [In Persian with English Summary].
- Farshbaf-Jafari, S., Ghasemi-Golozani, K., Shafagh-Kalvanagh, J., 2010. Effects Pre-treatment and drought stress on the percentage and yield of oil and soybean protein. Proceedings of the 3rd International Seminar on Oilseeds and Edible Oils, Tehran, Iran. [In Persian with English Summary].
- Foss Tecator AB., 2001. The Determination of nitrogen according to kjeldahl using block digestion and steam distillation. AN300.
- Fougereux, J., Dore, A., Ladonne, T., Fleury, A., 1997. Water stress during reproductive stages affects seed quality and yield of pea (*Pisum sativum L.*). *Crop Science*. 37, 1247-1252.
- Gill, S. S., Tuteja, N., (2010) Reactive oxygen species and antioxidant machinery in abiotic stress tolerance in crop plants. *Plant Physiology and Biochemistry*. 48, 909-930.
- Hamblin, A. P., 1981. Filter-paper method for routine measurement of field water potential. *Journal of Hydrology*. 53, 355-360.
- Karam, F., Masaad, R., Sfeir, T., Mounzer, O., Rouphael. Y., 2005. Evapotranspiration and seed yield of field grown soybean under deficit irrigation conditions. *Agricultural Water Management*. 75(3), 226-244.
- Khajehpour, M. R., 2012. Industrial Plants. Jahad Daneshgahi Press (Isfahan University of Technology). 562p. [In Persian].
- Khoshouee, S., Zarghami, R., Mashhadi Akbar Boojar, M., Tarighaleslami, M., 2011. Effect of water deficiency and plant density on yield and some physiologic and biochemical traits of two soybean cultivars (*Glycine max L.*) in Varamin-Iran. Proceedings of the first National

- conference of Modern Agricultural Science and Technology (MAST). [In Persian with English Summary].
- Majidian, M., Ghalavand, N.A., Kamkar-e Haghghi, A.A., 2008. Effects of nitrogen different amounts, manure and irrigation water on yield and yield components of corn. Electronic Journal of Crop Production. 1(2), 67-85. [In Persian with English Summary].
- Manoochehrifar, P., Lari Yazdi, H., Zaji, B., 2011. The effect of salicylic acid on activities of catalase and peroxidase in 7 days seedlings of *Zea mays* under drought stress. Proceedings of the 1st National Conference on New Concepts in Agriculture. Islamic Azad University, Saveh Branch. [In Persian with English Summary].
- Masoumi, H., Masoumi, M., Darvish, F., Daneshian, J., Nourmohammadian, G., Habibi, D., 2010. Changes in several enzymes activity and seed yield by water deficit stress in soybean (*Glycine max* L.) cultivars. Notulae Botanicae Horti Agrobotanical Cluj-Napoca. 38(3), 86-94.
- Masoumi, H., Darvish, F., Daneshian, J., Nourmohammadi, G., Habibi, D., Pourtaghi, A., Masoumi, M., 2011. Effect of water deficit on activities of antioxidants and lipid peroxidation in five soybean (*Glycine max* L.) cultivars. Proceedings of the 1st National Conference on New concepts in Agriculture. Islamic Azad University, Saveh Branch. [In Persian with English Summary].
- Mates, J.M., Perez-Gomez, C., 1999. Antioxidant enzymes and human disease. Chemical Biochemistry. 32(8), 595-603.
- Mittler, R., 2002. Oxidative stress, antioxidants and stress tolerance. Trends in Plant Science. 7, 405-410.
- Mittler, R., Vanderauwera, S., Gollery, M., Breusegem, F. Y., 2004. Reactive oxygen gene network of plants. Trends in Plant Science. 9, 490-498.
- Moussa, H., Abdel-Aziz, S. M., 2008. Comparative response of drought tolerant and drought sensitive maize genotypes to water stress. Australian Journal of Crop Science. 1(1), 31-36.
- Naeemi, M., Ali Akbari, G., Shirani Rad, A. H., Hassanloo, T., Abbas Akbari, G., 2012. Effect of zeolite application and selenium spraying on water relations traits and antioxidant enzymes in medicinal pumpkin (*Cucurbita pepo* L.) under water deficit stress conditions. Journal of Crops Improvement. 14(1), 67-81. [In Persian with English Summary].
- Nasibi, F., Manouchehri Kalantari, K., Barand, A., 2014. Effects of seed pre-treatment with L-arginine on improvement of seedling growth and alleviation of oxidative damage in canola plants subjected to salt stress. Iranian Journal of Plant Physiology. 5(1), 1217-1224. [In Persian with English Summary].
- Nasri, M., Khalatbari, V., 2009. The effect of water stress on changes in microelements on physiological aspects of rapeseed cultivars (*Brassica napus*). Iranian Journal of Dynamic Agricultural. 6(1), 81-91. [In Persian with English Summary].
- Pol Shekan-e Pahlavan, M.R., Movahedi Naeini, S.A.R., Eatesam, G.R., Keykha, G., 2007. Wheat plant growth and yield with different planting systems and irrigation frequency 2-soil and plant nutrients. Agricultural Sciences and Natural Resources. 14(5), 23-34. [In Persian with English Summary].
- Ohashi, Y., Nakayama, N., Saneoka, H., Mohapatra, P.K., Fujita, K., 2009. Differences in the responses of stem diameter and pod thickness to drought stress during the grain filling stage in soybean plants. Acta Physiologiae Plantarum. 31(2), 271-277.
- Ohe, M., Rapolu, M., Mieda, T., Miyagawa, Y., Yabuta, Y., Yoshimura, K., Shigeoka, S., 2005. Decline in leaf photooxidative stress tolerance with age in tobacco. Plant Science. 168, 1487-1493.
- Raeini-Sarjaz, M., Chalavi, V., 2008. Effects of diverse microclimates and soil water contents on water-use efficiency and carbon isotope discrimination for bush bean. Journal Agricultural Science Technology. 10, 43-53.
- Ranjan, R., Bohra, S. P., Jeet, A. M., 2001. Plant Senescence Physiological, Biochemical and Molecular Aspects. Jodhpur Agrobios. New York. Pp. 18-42.
- Sairam, R.K., Saxena, D.C., 2002. Oxidative stress and antioxidants in wheat genotypes: possible mechanism of water stress tolerance. Journal Agronomy Crop Science. 184, 55-61.
- Sharma, P., Dubey, R.S., 2005. Drought induces oxidative stress and enhances the activities of antioxidant enzymes in growing rice seedlings. Plant Growth Regulation. 46, 209-221.

- Singh, D.P., 2003. Stress Physiology. New Age International. 188p.
- Sofo, A., Scopa, A., Nuzzaci, M., Vitti, A., 2015. Ascorbate peroxidase and catalase activities and their genetic regulation in plants subjected to drought and salinity stresses. International Journal of Molecular Science. 16, 13561-13578.
- Stewart, R.R.C., Bewley, J.D., 1980. Lipid peroxidation associated aging of soybean axes. Plant Physiology. 65, 245-248.
- Tale-Ahmad, S., Haddad, R., 2010. Effect of silicon on antioxidant enzymes activities and osmotic adjustment contents in two bread wheat genotypes under drought stress conditions. Seed and Plant Production. 26(2), 207-225. [In Persian with English Summary].
- Tang, W., Newton, R.J., 2005. Peroxidase and catalase activities are involved in direct adventitious shoot formation induced by thidiazuron in eastern white pine (*Pinus strobus* L.) zygotic embryos. Plant Physiology Biochemistry. 43, 760-769.
- Vahdi, N., Gholinezhad, E., 2015. Evaluation of drought tolerance of some soybean cultivars. Journal of Water Research in Agriculture. 29(1), 1-9. [In Persian with English Summary].
- Wright, I. J., Reich, P. B., Westoby, M., 2003. Least-cost input mixtures of water and nitrogen for photosynthesis. American Naturalist. 161, 98-111.
- Yousefi, S. M., Amiri, E., Paknejad, F., Elkaee, M., 2011. Effect managements of irrigation and nitrogen manure on yield and yield components of soybean. Proceedings of the 1st National Conference on New Concepts in Agriculture. Islamic Azad University, Saveh Branch. [In Persian with English Summary]
- Zhang, X.H., Shen, L., Li, F.J., Zhang, Y.X., Meng, D.M., Sheng, J. P., 2010. Up-regulating arginase contributes to amelioration of chilling stress and the antioxidant system in cherry tomato fruits. Journal of Science, Food and Agriculture. 90, 2195–2202.